

高アンモニア血症を呈する疾患における カルニチン代謝に関する研究

森 俊彦

札幌医科大学小児科学講座 (主任 千葉峻三 教授)

Studies on Carnitine Metabolism of Various Disorders Accompanied by Hyperammonemia

Toshihiko MORI

Department of Pediatrics, Sapporo Medical College
(Chief : Prof. S. CHIBA)

ABSTRACT Recently, the carnitine status of various disorders accompanied by hyperammonemia has been studied, and carnitine deficiency syndromes, secondary to a variety of genetic disorders, have been found.

The author measured the serum and tissue carnitine levels of various disorders accompanied by hyperammonemia. In patients with ornithine transcarbamylase (OTC) and carbamylphosphate synthetase (CPS-I) deficiencies, free carnitine levels in the serum were decreased and acylcarnitine levels were increased. These findings were also observed in liver tissues. However, the serum and hepatic carnitine concentrations of congenital hyperammonemic patients with other cytosolic enzyme deficiencies of the urea cycle were within normal limits. Carnitine levels in the serum and liver tissues of some patients with OTC deficiency decreased gradually with age. In the patient with CPS-I deficiency, the mean blood ammonia levels decreased significantly, accompanied by an increase in serum and urine free carnitine levels after oral administration of L-carnitine (10mg/kg/day). The serum free carnitine levels of patients receiving sodium valproate (VPA) therapy decreased and their acylcarnitine free carnitine ratios increased. There existed a definite correlation between serum free carnitine and blood ammonia.

Primary cultured rat hepatocytes were used to study the effect of VPA on the levels of ammonia and urea synthesis in culture medium. The addition of VPA to the culture medium resulted in an increase of ammonia and a decrease of urea synthesis. The carnitine content of hepatocytes and citrulline synthesis by hepatocytes were also decreased following VPA addition, but OTC and CPS-I activities were unchanged. When L-carnitine was added with VPA to the medium, the levels of ammonia decreased and urea synthesis increased. These observations indicate that VPA-induced hyperammonemia is caused by inhibition of citrulline synthesis followed by hepatic carnitine deficiency, and suggest that L-carnitine may be effective in preventing VPA-induced hyperammonemia.

In future studies, the carnitine status in congenital hyperammonemia and VPA therapy should be investigated, since oral administration of L-carnitine may be effective in patients with secondary carnitine deficiency.

(Received March 27, 1991 and accepted April 18, 1991)

Key words: Carnitine, Hyperammonemia, Ornithine transcarbamylase deficiency, Sodium valproate, Primary cultured hepatocytes

1 緒 言

高アンモニア血症の成因としては、先天性および後天性に大別されるが、前者には尿素サイクル酵素異常症、有機酸血症など、後者には肝疾患、Reye症候群などが上げられる。最近、これらの疾患のなかに、カルニチン代謝異常を伴うことが明らかにされてきて¹⁻⁵、カルニチン代謝と高アンモニア血症との関係がクローズアップされるようになった。カルニチンは脂肪酸のβ酸化系に関与して、長鎖脂肪酸のミトコンドリアへの輸送担体としての働きのほかに、様々な原因で蓄積した有害なアシルCoAを無害なアシルカルニチンに変えて排泄するという重要な役割を持っている⁶。そのため、カルニチンが欠乏すると有害なアシルCoAの細胞内蓄積により脂肪酸、TCAサイクル、糖新生、尿素サイクルなどの諸代謝が阻害され、多彩な生化学的異常を呈するが、その中の一つの高アンモニア血症との関連が注目されている。また、抗けいれん剤として広く用いられているバルプロ酸ナトリウム（以下VPAと略す）投与時に見られる高アンモニア血症との関連も注目されている^{7,8}。しかし、現在までのところ低カルニチン血症がどのように尿素サイクルに影響を及ぼすかは明らかではない。そこで、最初に著者は種々の原因により高アンモニア血症を呈した症例の血清および組織のカルニチンを測定した。特に、ヒトにおける血清カルニチン値と血中アンモニア値の関係を示す良いモデルであるVPA投与症例について、詳細に検討を加えた。次に、尿素サイクルとカルニチン代謝の関係を同時に検討することができる最も適切な *in vitro* の系として成熟ラット初代培養肝細胞をもちいて、VPAを種々の濃度で培地中に添加した時の、肝細胞の尿素合成とそれにともなう培地アンモニアの変化を検討し、興味ある知見がえられたので報告する。

2 方 法

2・1 臨床例

2・1・1 対 象

対象は札幌医科大学小児科に入院した先天性高アンモニア血症15例（カルバミルリン酸合成酵素（以下CPSと略す）部分欠損症1例、オルニチントランスカルバミラーゼ（以下OTCと略す）欠損症7例、シトルリン血症II型4例、アルギニノコハク酸尿症1例、リ

ジン血症を伴った高アンモニア血症1例、高オルニチン血症・高アンモニア血症・ホモシトルリン尿症（以下HHHと略す）1例）、OTC欠損症のヘテロ3例および国立療養所小樽病院入院中の、代謝性疾患や肝障害のない重症心身障害児48例である。

2・1・2 方 法

各症例の血清、尿および組織（筋肉、肝、腎臓、脳）のカルニチンをMcGarry and Fosterの方法⁹を一部改変し以下の様に測定した。カルニチン測定に用いた組織は-80°Cで測定まで保存し、血清および尿は-20°Cで保存した。遊離カルニチン値の測定は¹⁴C-Acetyl CoAとcarnitine acetyltransferaseを用い、L-carnitine+acetyl CoA ⇌ acetylcarnitine+CoA SHの反応によって形成されたlabeled acetylcarnitineをunreacted acetyl CoAよりanion exchange resinを用いて分離し、その放射活性を測定した。また、この反応は可逆反応であるため、形成されるCoA SHをtrapするためにN-ethylmaleimideを用いた。血清および尿は直接、肝、腎、脳は10倍量の、筋肉は20倍量の0.25M sucrose、10mM Tris-HCl、0.5mM EGTA、pH 7.4を加えホモジナイズしたもの50μlを検体とした。実際の測定は、エッペンドルフチューブ(2ml容量)を用い、2.8mM phosphate-buffer、pH 7.3 600μl、5mM N-ethylmaleimide 400μl、0.62mM acetyl CoA (Sigma Chemical Co.) 40μl、¹⁴C-AcetylCoA (60 mCi/mmol, Amersham) 0.02μCi (10μl) を含む反応液に検体50μlを加え、1 unit carnitine acetyltransferase (Sigma Chemical Co.) 5μlを加えて反応を開始した。37°Cで30分間放置後エッペンドルフチューブを氷水中に入れ反応を中止させたのち、0.22mlのDDWを含むDowex 2-X 8 anion exchange resin (Bio-Rad Laboratories) 0.3mlをあらかじめ分注したスピッツに反応液を移し、攪拌後氷水中に10分間放置した。この操作を2回繰り返した後、2000 rpmで15分間遠沈し、上清0.5mlにAquasol 2 (New England Nuclear) 5mlを加え、放射活性を液体シンチレーションカウンター(Tri-carb 8300, Packard Instrument Co., Inc.)で測定した。標準曲線は2.5, 5, 10 nmolのL-カルニチン（アース製薬より供与）を用いて作成し、盲検はDDWを用いた。総カルニチン値（遊離カルニチン+アシルカルニチン）は、検体50μlに1M Tris-base 100μlおよび

0.4 N KOH 50 μl を加え pH 13 とし、37°Cで1時間放置しアシルカルニチンを遊離カルニチンに水解した後、0.575 N HCl 200 μl を加え pH 7.3とした後、遊離カルニチンと同様に測定した。本測定法の同時再現性は、CV. 2.8%で日差再現性はCV. 4.8%であった。腎尿細管の遊離カルニチンの再吸収率は Matsuda らの方法¹⁰にて算出した。重症心身障害児 48 例は、VPA 服用者 22 例と非服用者 28 例の 2 群に分け、血清カルニチン値、血中アンモニア値、肝特異酵素 (GOT, GPT)、VPA の投与量および血中濃度について比較検討した。年齢、体重およびエネルギー摂取量は両群間に差はなく、食事内容よりカルニチンの摂取量も同等とかんがえられた。また、VPA の服用期間は全例 6 カ月以上であった。

2・2 初代培養肝細胞

2・2・1 研究対象

ウィスター系雄ラット体重約 200 g を用い、Tanaka らの方法¹¹に従って肝細胞の分離精製をおこなった。初代培養は、5%のウシ胎仔血清 (GIBCO Laboratories) を含む WilliamsE 培地（以下 WE と略す、Flow Laboratories）に 5×10^5 細胞/ml の濃度に肝実質細胞を希釈し、10%コラーゲン（新田ゼラチン）溶液で処理した Plastic culture dish に 10^5 細胞/0.2 ml/cm² の蒔き込み数で静置培養した。気相は 5%CO₂-95%空気とした。培養液にはインスリン（ノボレンテ、ノボ社）およびデキサメサゾン（デカドロン、塩野義）をそれぞれ 10^{-8} M、およびアプロチニン（Bayer）を 5 unit/ml の濃度で添加した。約 3 時間後、dish 面への細胞の接着を確認した後、ウシ胎仔血清を含まない WE に交換し、以後無血清 WE を 24 時間毎に交換した。以後 3 日以内に以下の実験をおこなった。

2・2・2 研究方法

2・2・2・1 VPA の添加方法および培養時間

VPA を Hanks' complete 培養液 (Hanks' Hepes solution, 8 mM glucose, pH 7.4) に 0~500 $\mu g/ml$ の濃度で添加し、24 時間培養後、培地中のアンモニアと尿素窒素を測定した。また、培養肝細胞の CPS-I、OTC 活性、シトルリン合成能および遊離カルニチン含量を測定した。次に、VPA を 200 $\mu g/ml$ の濃度で添加した培地に L-カルニチンを 0~500 μM の濃度で添加し、同様に 24 時間培養し培地中のアンモニアと尿素窒素を測定した。

2・2・2・2 培養液中のアンモニアおよび尿素窒素の測定

アンモニアの定量は、培養液 1 ml に 10% タングステ

ン酸ナトリウム 0.5 ml および 1 N 硫酸 0.5 ml を加え混和し、3000 rpm 5 分間遠心し、得られた上清 0.5 ml を用いて、藤井・奥田法¹²に準じておこなった。尿素窒素は、ジアセチルモノオキシム法¹³で測定した。

2・2・2・3 培養肝細胞の CPS-I および OTC 活性の測定

6 cm² シャーレ 1 枚分の肝細胞に 20%Glycerol, 2 mM Dithiothreitol および 0.2%cetyltrimethylammonium bromide を含む 0.02 M Tris-HCl pH 7.2, 1 ml を加えホモジナイズし Enzyme source とし、CPS-I 活性は Nuzum and Snodgrass の方法¹⁴で、OTC 活性は Schmike の方法¹⁵に従って測定した。

2・2・2・4 培養肝細胞のシトルリン合成能の測定

Yamazaki らの方法¹⁶を培養肝細胞用に改変して行った。すなわち、培養肝細胞を VPA を各濃度に調整した培地で 24 時間培養した後、培養液をのぞき、細胞を 37°C, PBS (-) で 2 回洗浄したあと、3.5 cm² シャーレあたり、standard component (70 mM Tris-HCl, 12 mM KCl, 1 mM EGTA, 5 mM potassium phosphate, 16.6 mM KHCO₃, 10 mM ornithine, 10 mM NH₄Cl, 25 mM manitol, pH 7.4) 750 μl , 1 mM succinate 50 μl , 12.5 mM MgCl₂ 50 μl , DDW 50 μl をあらかじめ加え、反応は 3 mM ATP 50 μl を加えて開始した。37°C, 5%CO₂-95%空気で培養し 0, 5, 10, 20, 30 分後に 5 M PCA 200 μl で反応を中止させ、反応液および肝細胞を 3000 rpm 5 分間遠心し、上清のシトルリンを Ceriotti and Spanadio の方法¹³で測定した。Blank は ATP を加える前に PCA を加えたものを用いた。沈渣を 0.1 N NaOH で溶解し、一部で蛋白定量を行った。

2・2・2・5 培養肝細胞の遊離カルニチン含量の測定

10 cm² シャーレ 1 枚分の肝細胞に、0.25 M sucrose, 10 mM Tris-HCl, 0.5 mM EGTA, pH 7.4, 0.5 ml を加えてホモジナイズしたものを McGarry and Foster の方法⁹を一部改変して測定した。蛋白定量には、ホモジネイトの一部を 10 倍量の 0.05 N NaOH で 18 時間室温放置したものを用いた。

蛋白定量測定は、Protein assay kit (Coomassie Brilliant Blue G-250, Bio-Rad Laboratories) を用いて行った。

なお、以上の実験はすべて triplication で行った。

3 結 果

3・1 臨床例における検討

3・1・1 先天性高アンモニア血症

Table 1 Serum and hepatic carnitine levels of patients with ornithine transcarbamylase (OTC) deficiency

Cases	Sex	Age	Enzyme activities (% of controls)	Liver tissue	Serum carnitine (n mol/ml)				Hepatic carnitine (n mol/mg NCP)			
					Free	Acyl	Total	Acyl/Free ratio	Free	Acyl	Total	Acyl/Free ratio
1	M	28 days	not detected	autopsy	28.7	18.1	46.8	0.63	3.26	3.15	6.41	0.97
2	M	6 days	6%	autopsy	36.8	28.8	65.6	0.78	3.01	2.61	5.62	0.87
3	M	3 mo	9%	biopsy	21.8	30.9	52.7	1.42	5.91	2.82	8.73	0.32
		3 yrs		autopsy	17.3	27.2	44.5	1.57	2.86	1.85	4.71	0.65
4	M	3 mo	15%	autopsy	48.2	31.8	80.0	0.66	2.93	1.26	4.19	0.43
5	F	6 yrs	17%	biopsy	38.7	35.6	74.3	0.92	7.54	2.16	9.70	0.29
		9 yrs		biopsy	19.1	56.9	76.0	2.98	5.68	3.91	9.59	0.69
		10 yrs		autopsy	6.3	30.5	36.8	4.85	3.26	1.65	4.91	0.51
6	F	30 yrs	45%	biopsy	43.2	27.5	70.7	0.64	5.24	2.97	8.21	0.57
7	M	1 yrs	5%	biopsy	25.6	17.4	43.0	0.68	n. d.			
Controls												
Serum				Liver								
Newborns (n=25)				Newborns (n=17)	33.9±7.5	15.2±7.8	49.5±11.5	0.46±0.26	4.10±1.12	1.61±0.25	5.71±1.55	0.42±0.25
1-11 mo (n=51)				1 mo-5 yrs (n=11)	37.4±9.9	21.3±8.9	58.8±14.8	0.60±0.31	5.16±0.60	2.24±0.56	7.40±0.85	0.45±0.21
1-10 yrs (n=20)				>6 yrs (n=10)	59.6±11.7	29.7±12.6	80.8±20.5	0.55±0.16	9.34±1.20	2.03±0.35	11.37±0.69	0.24±0.12
Adults (n=20)					53.5±13.0	28.6±10.1	78.0±9.7	0.60±0.30				

M: male, F: female, n: number of cases, NCP: non collagen protein, n. d.: not determined

Table 1 は OTC 欠損症の臨床生化学的所見を示したものである。OTC 欠損症では 7 例中 3 例（症例 3, 5, 7）に血清遊離カルニチンの低下、6 例中 4 例（症例 3, 4, 5, 6）に肝遊離カルニチン含量の低下がみられた。そのうち 2 例では、年齢とともにカルニチン欠乏は著明になっていった。症例 5 は、OTC 部分欠損症の女児であるが、10 歳時までは低蛋白食と安息香酸ナトリウムの併用により正常の発育をしていたが、急性憎悪のため高アンモニア血症性昏睡におちいり、種々の治療にもかかわらず死亡した例である。治療開始 48 時間後と死亡時には、著明な血清遊離カルニチンの低下と A/F 比の増加がみられた (Fig. 1)。また、剖検肝においても肝カルニチン含量は低下していたが、腎および脳では低下がみられなかった (Table. 2)。CPS 部分欠損症例は生後 53 日目に高アンモニア血症性昏睡にて入院した。入院時正常であったカルニチン値は 12 時間後には血清遊離カルニチンの低下と A/F 比の増加がみられた。腹膜透析、安息香酸ナトリウムなどの薬物療法とともに L-カルニチン (20 mg/kg/day) を併用し、高アンモニア血症の改善に伴い血清カルニチン値も正常となった (Fig. 2)。透析液中の遊離カルニチン値は

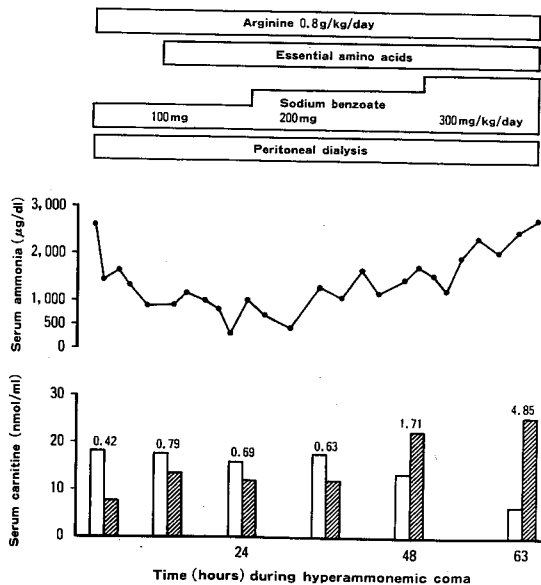
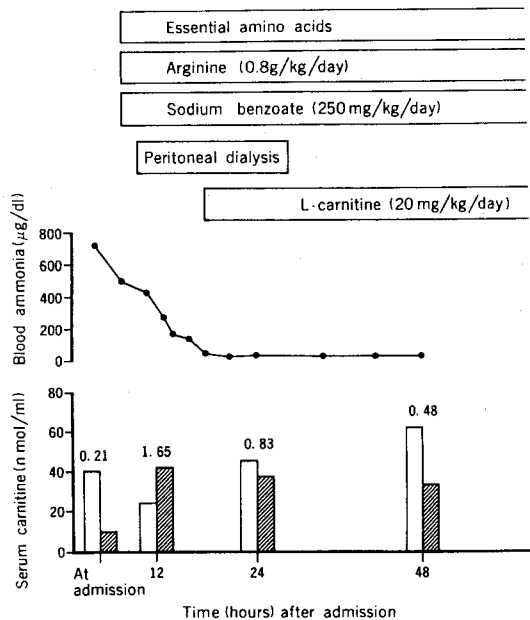


Fig. 1 Clinical course and serum carnitine concentrations of a patient with partial ornithine transcarbamylase deficiency during hyperammonemic coma. Open columns: free carnitine; closed columns: acyl carnitine; numbers: acyl free ratio.

Table 2 Serum and tissue carnitine concentrations of a patient with partial ornithine transcarbamylase (OTC) deficiency

Age	Serum carnitine (n mol/ml)				Hepatic carnitine (n mol/mg NCP)				Renal carnitine (n mol/mg NCP)				Brain carnitine (n mol/mg NCP)			
	Free	Acyl	Total	Acyl/ Free	Free	Acyl	Total	Acyl/ Free	Free	Acyl	Total	Acyl/ Free	Free	Acyl	Total	Acyl/ Free
6 yrs	38.7	35.6	74.3	0.92	7.54	2.66	9.70	0.29	n. d.				n. d.			
9 yrs	19.1	56.9	76.0	2.98	5.68	3.91	9.59	0.69	n. d.				n. d.			
10 yrs	6.3	30.5	36.8	4.85	3.26	1.65	4.91	0.51	5.16	3.94	9.10	0.76	1.22	3.86	5.08	3.16
Controls	59.6	29.7	89.3	0.55	9.34	2.03	11.37	0.24	6.45	1.89	8.33	0.29	1.24	4.02	5.37	3.12
	±11.7	±12.6	±20.5	±0.16	±1.20	±0.35	±0.69	±0.12	±0.91	±0.75	±1.39	±0.10	±0.57	±2.85	±2.67	±0.56
	(n=20)				(n=10)				(n=6)				(n=14)			

NCP: non collagen protein, n: number of cases, n. d.: not determined

**Fig. 2** Clinical course and serum carnitine concentrations of a patient with carbamylphosphate synthetase-I deficiency after admission. Open columns: free carnitine; closed columns: acyl carnitine; numbers: acyl free ratio.

4.6 nmol/ml であり、腎尿細管での遊離カルニチンの再吸収能は低下していなかった。意識回復とともに特殊治療乳による低蛋白食(1.5~1.7 g/kg/day)を開始し、安息香酸ナトリウムおよびL-アルギニンの投与は中止した。L-カルニチン投与は20日間続け、中止後35日および60日目の血清カルニチン値は正常であり、肝カルニチン含量は正常の4倍に増加していた。しか

し、生後7カ月時に再び血清遊離カルニチン値は著明に低下し、A/F比も増加したのでL-カルニチン(10 mg/kg/day)投与を再開した。L-カルニチン治療前後の血中アンモニア値はそれぞれ、135.2±42.5 μg/dl(n=74)および103.1±19.0 μg/dl(n=22)(P<0.01)であり、蛋白摂取量も增量(1.8~2.0 g/kg/day)することができた。患児は生後11カ月現在、蛋白制限のみで正常な発達をとげており、血清カルニチン値も正常である(Table 3)。

塩化アンモニウムの負荷試験による保因者診断¹⁷にてOTC欠損症のヘテロと判明した母親(症例2, 3, 6の母親)では血清遊離カルニチン値は正常の下限より低下しており、A/F比の増加もみられた(Table. 4)。

他の尿素サイクル酵素欠損による先天性高アンモニア症例やHHH例では、血清および肝にてカルニチンが低下している症例はなかった(Table. 5)。

3・1・2 VPA投与例

血中アンモニア値はVPA投与群では非投与群に比べて有意な高値を示した。しかし、血中アンモニア値とVPA投与量および血中濃度との間には有意な相関は見られなかった。血清遊離および総カルニチン値はVPA投与群では非投与群に比べ有意に低値を示したが、アシルカルニチン値は有意な差はなかった(Table. 6)。また、血清遊離カルニチン値と血中アンモニア値の間で相関係数-0.38で負の相関がみられ(Fig. 3)、A/F比と血中アンモニア値の間で相関係数0.59の正の相関がみられた(Fig. 4)。VPA投与量と血清遊離カルニチン値の間で相関係数-0.46で負の相関がみられたが(Fig. 5)、血清遊離カルニチン値とVPA血中濃度との

Table 3 Carnitine concentrations in serum, urine, liver and peritoneal dialysis fluid in the patient with carbamylphosphate synthetase-I deficiency

	Serum carnitine (n mol/ml)			
	Free	Acyl	Total	Acyl/Free ratio
After termination of L-carnitine therapy				
35 days	35.7	22.7	58.4	0.64
60 days	37.7	10.6	48.3	0.28
5 months	11.5	16.5	28.0	1.44
After administration of L-carnitine (10mg/kg/day)				
7 days	48.5	25.5	74.0	0.53
1 months	58.2	26.9	85.1	0.46
3 months	55.0	23.8	78.8	0.43
controls	37.4	21.3	58.7	0.60
1-11 mo (n=51)	± 9.9	± 8.9	± 14.8	± 0.31
	Liver carnitine (n mol/mg NCP)			
	Free	Acyl	Total	Acyl/Free ratio
35 days after temination of L-carnitine therapy	17.18	2.74	19.92	0.16
controls	3.99	2.15	6.14	0.54
1-11 mo (n=15)	± 0.63	± 0.31	± 1.36	± 0.18
	Urine carnitine (n mol/mg creatinine)			
	Free	Acyl	Total	RRFC (%)
5 months after termination of L-carnitine therapy	ND	98.4	98.4	
After administration of L-carnitine (10mg/kg/day)				
7 days	285.0	415.3	700.2	98.8
3 months	885.1	454.1	1339.2	98.4
controls (n=30)	685.3	854.7	1540.3	98.5
	± 438.0	± 350.2	± 528.7	± 1.3 (n=17)
	Peritoneal dialysis fluid (n mol/ml)			
	Free	Acyl	Total	
	4.6	37.6	42.2	

RRFC: renal reabsorption of free carnitine, NCP: non collagen protein,

ND: not detectable, n: number of cases.

Table 4 Serum carnitine concentrations of heterozygotes with ornithine transcarbamylase (OTC) deficiency

Subjects	Age (yrs)	Loading tests of ammonium chloride	Serum carnitine (n mol/ml)			
			Free	Acyl	Total	Acyl/Free ratio
mother (Case 2)	31	positive	34.8	36.0	70.8	1.04
mother (Case 3)	32	positive	32.5	36.9	69.4	1.14
mother (Case 4)	28	negative	48.2	31.8	80.0	0.66
mother (Case 6)	56	positive	33.7	38.6	72.3	1.15
controls (n=20)			53.5±13.0	28.6±10.1	78.0±9.7	0.60±0.30

n: number of cases

Table 5 Serum and hepatic carnitine levels of patients with congenital defects of the urea cycle

Cases	Age	Hepatic enzyme activities (% of controls)		Serum carnitine (n mol/ml)				Hepatic carnitine (n mol/mg NCP)			
				Free	Acyl	Total	Acyl/Free ratio	Free	Acyl	Total	Acyl/Free ratio
Citrullinemia (tyre II)	1	ASS	30%	31.4	24.1	55.5	0.77	10.26	2.73	12.93	0.27
	2		40%	42.4	20.2	62.6	0.48	5.28	1.88	7.16	0.36
	3		25%	103.2	109.3	212.5	1.06	5.99	2.87	8.86	0.48
	4		26%	68.3	21.1	89.4	0.31	7.05	1.80	8.85	0.26
Argininosuccinic aciduria	6 mo	ASase	6%	50.6	33.2	83.8	0.66	6.21	1.04	7.25	0.17
Hyperlysine with hyperammonemia	22 yrs	Arginase ASS	29% 22%	77.1	20.5	97.6	0.27	11.26	0.65	11.91	0.06
Hyperornithinemia, hyperammonemia and homocitrullinuria (HHH)	41 yrs	normal activities in urea cycle enzymes		77.0	12.0	89.0	0.16	7.48	2.75	10.23	0.37
1-11mo				37.4±9.9	21.3±8.9	58.8±14.8	0.60±0.31	3.99±0.63	2.15±0.31	6.14±1.36	0.54±0.18
Controls								(n=51)		(n=15)	
Adults				53.5±13.0	28.6±10.1	78.0±9.7	0.60±0.30	9.34±1.20	2.03±0.35	11.37±0.69	0.24±0.12
								(n=20)		(n=10)	

ASS: Argininosuccinate Synthetase, ASase: Argininosuccinase, NCP: non collagen protein,

n: number of cases.

Table 6 Serum carnitine concentrations, blood ammonia values and hepatocellular enzymes in the patients

	NO.	carnitine (n mol/ml)				ammonia (μg/dl)	S-GOT (IU/l)	S-GPT (IU/l)
		Free	Acyl	Total	Acyl/Free ratio			
VPA (+)	22	32.1* (± 9.3)	26.1 (± 4.6)	58.2* (± 10.1)	0.92* (± 0.41)	69.9* (± 41.8)	27.6* (± 4.5)	19.0* (± 11.5)
VPA (-)	26	43.1 (± 8.8)	27.1 (± 4.1)	70.2 (± 11.3)	0.64 (± 0.12)	43.4 (± 10.8)	20.3 (± 8.0)	13.9 (± 5.7)

* P<0.005; VPA (+) VS. VPA (-)

間では有意な相関はみられなかった。S-GOT および S-GPT 値は VPA 投与群で有意な高値を示したが、異常値を示した例はなかった。また、有意差検定は Student-t 検定によった。

3・2 培養肝細胞に対する VPA の影響

3・2・1 培養液中のアンモニア値と尿素窒素値の変化

培地中に VPA を添加すると、培地中の尿素窒素は VPA 濃度 50 μg/ml より低下し、200 μg/ml 以上ではコントロールの 1/2 以下に低下していた。一方、アン

モニアは上昇し 200 μg/ml 以上ではコントロールの 2 倍以上になっていた (Fig. 6).

3・2・2 培養肝細胞の CPS-I 活性および OTC 活性

培地中に VPA を添加しても、VPA 濃度 500 μg/ml でも CPS-I および OTC 活性の低下は見られなかつた (Fig. 7).

3・2・3 培養肝細胞の遊離カルニチン含量

培地中に VPA を添加すると、肝細胞内の遊離カルニチン含量は、VPA 濃度 50 μg/ml より低下し、200 μg/ml

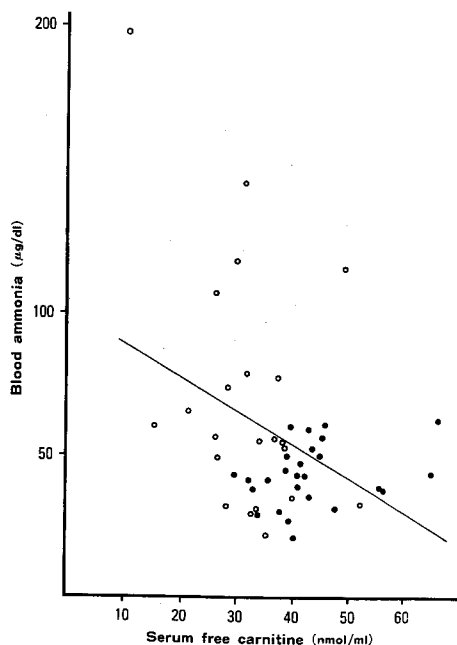


Fig. 3 Relationship between serum free carnitine concentrations and blood ammonia values in the patients receiving anticonvulsants in combination with (○) or without (●) VPA. Calculated regression line, $Y=99.63-1.16X$, where Y is blood ammonia levels and X is serum carnitine concentrations. Coefficient of correlation ($r=-0.38$, $n=48$, $P<0.01$).

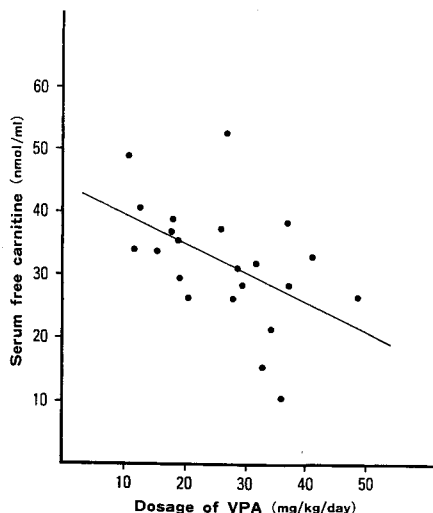


Fig. 5 Relationship between the dosage of VPA and serum free carnitine concentrations in the patients receiving VPA. Calculated regression line, $Y=44.06-0.451X$, where Y is serum free carnitine concentrations and X is dosage of VPA. Coefficient of correlation ($r=-0.49$, $n=22$, $P<0.05$).

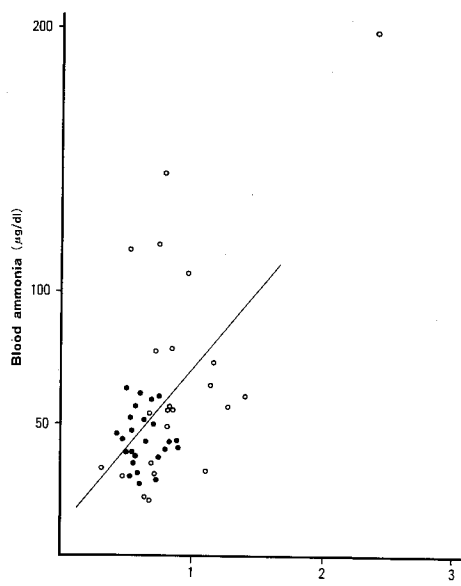


Fig. 4 Relationship between acyl free ratios and blood ammonia values in the patients receiving anticonvulsants in combination with (○) or without (●) VPA. Calculated regression line, $Y=10.14+59.04X$, Where Y is blood ammonia levels and X is acyl free ratios. Coefficient of correlation ($r=0.59$, $n=48$, $P<0.001$).

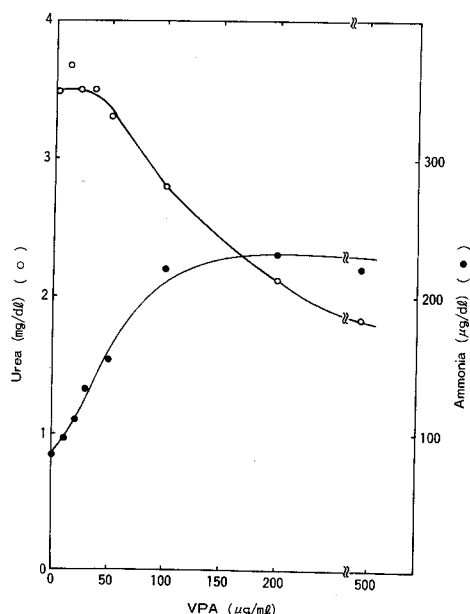


Fig. 6 Effects of VPA on the concentration of urea and ammonia during the culture of hepatocytes. Hepatocytes were cultured in Hanks' complete-Hepes solution containing VPA at concentrations ranging from 0 to 500 $\mu\text{g}/\text{ml}$ for 24 hr. Aliquots of incubation medium were taken and the concentration of urea (○) and ammonia (●) was measured.

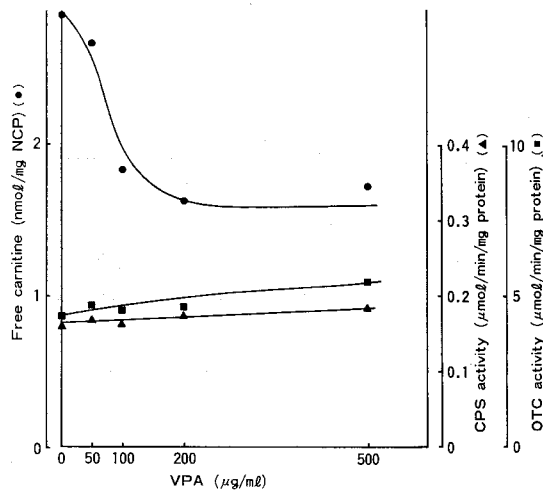


Fig. 7 Changes of free carnitine contents, CPS-I activity and OTC activity in the hepatocytes by VPA. (●): free carnitine contents; (▲): CPS-I activity; (■): OTC activity.

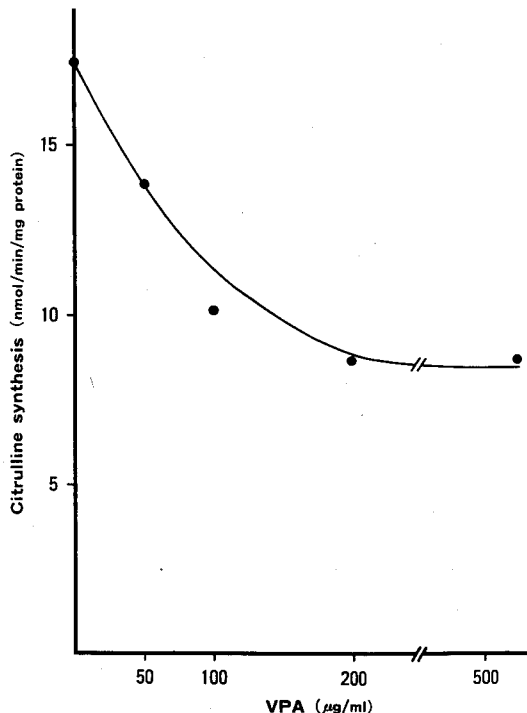


Fig. 8 Effects of VPA on citrulline synthesis in the hepatocytes. Hepatocytes were cultured in Hanks' complete-Hepes solution containing VPA at concentrations ranging from 0 to 500 µg/ml for 24hr and citrulline synthesis of hepatocytes was measured by the method of Yamazaki¹⁶ with some modifications.

ml ではコントロールの約 60% になっていた (Fig. 7).

3・2・4 培養肝細胞のシトルリン合成能

培地中に VPA を添加すると、肝細胞のシトルリン合成能は、VPA 濃度 50 µg/ml より低下しており、200 µg/ml ではコントロールの約 1/2 になっていた (Fig. 8).

3・2・5 L-カルニチン添加の影響

VPA を 200 µg/ml の濃度で添加した培地に L-カルニチンを加えて 24 時間培養すると、培地中の尿素窒素は L-カルニチン濃度 20 µM より上昇し、一方アンモニアは低下した。しかし、L-カルニチンの量依存性は見られなかった (Fig. 9).

4 考 案

カルニチンは小児期における脂肪酸酸化とミトコンドリア機能の保護に必要不可欠な物質であり、生体内では 2 つの重要な働きをもっている。1 つはエネルギー源である長鎖脂肪酸をミトコンドリア内に転送する働きで、もう 1 つはミトコンドリア内に蓄積したプロピオン酸などの短鎖脂肪酸を short chain acylcarnitine としてミトコンドリア外に排出する働きである。カルニチン欠損症は 1973 年に Engel and Angelini¹⁸ により

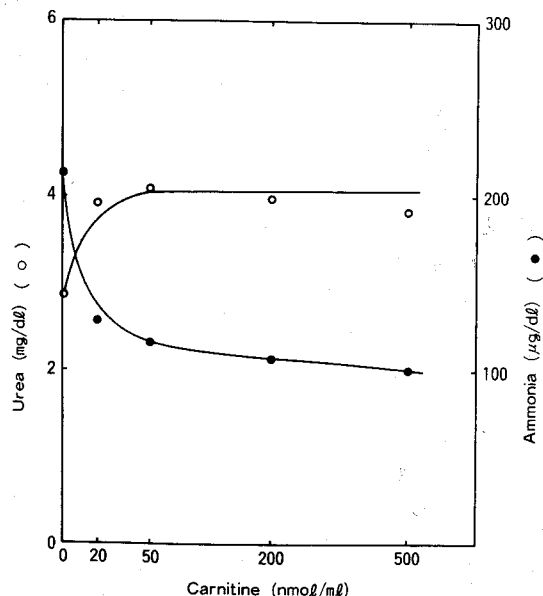


Fig. 9 Effects of L-carnitine on ammonia detoxication and urea synthesis in hepatocytes. L-carnitine was added at concentrations ranging from 0 to 500 nmol/ml in Hanks' complete-Hepes solution containing 200 µg/ml VPA. (○): urea; (●): ammonia.

初めて報告されて以来、一次性および二次性カルニチン欠損症として次々に報告されている。一次性カルニチン欠損症は全身型と筋型に大別されており¹⁹、二次性カルニチン欠損症は、尿素サイクル異常症⁴、プロピオニ酸血症¹、Reye症候群^{2,20}、血液透析²¹、中心静脈栄養²²など小児期の様々な疾患および病態で見られることが報告されている。

OTC欠損症をはじめとする先天性尿素サイクル酵素異常症は、新生児期より高アノニア血症にて発症し、死亡例も多く予後不良な疾患である。従来より本疾患の治療は、アノニアの産生抑制を目的とした、蛋白制限を基本とし、安息香酸ナトリウムやL-アルギニンなどの薬物療法が主として行われているが、その効果は必ずしも十分とは言えず、良好にコントロールされていた症例でも感染症などを契機に高アノニア血症性昏睡におちいり重篤な経過をとる例も多い。最近、カルニチンの高アノニア血症における役割が注目され、1984年にO'Connerら²³はアノニア毒性の動物実験にてカルニチンを投与し、血中アノニアの低下と尿素合成の促進効果を報告し、1988年にはOhtaniら⁴がOTC欠損症にて二次性カルニチン欠損症が見られ、L-カルニチン投与が高アノニア発作の予防に有効であったと報告し、高アノニア血症の治療薬としてL-カルニチンがにわかに注目されている。しかし、OTC欠損症におけるカルニチン低下の原因は不明であり、他の先天性尿素サイクル酵素異常症については、カルニチン代謝の報告はほとんどない。

今回の研究結果より、OTC欠損症のほかに、CPS欠損症においても血清遊離カルニチン値の低下が見られることが明らかになった。しかし、サイトゾールに局在する酵素欠損症ではカルニチン値は血清および肝においても低下している症例は見られなかった。このことは、OTCやCPS-Iなどのミトコンドリアに局在する酵素欠損症は、重症例が多く、より強力な蛋白制限を受けていたことが一因と考えられるが、個々の疾患において重症度が異なるため、症例ごとの経過を追った検索が必要である。また、OTC欠損症では、経過を追って検索した症例では加齢とともにカルニチンの低下が見られることが明らかにされた。また、OTC欠損症のヘテロの母親も正常の下限より低下しており、OTC欠損症では年齢とともにカルニチン欠乏が著明になっていくことが示唆された。

OTC欠損症における二次性カルニチン欠損症の原因としては、蛋白制限（カルニチンは蛋白中のリジンやメチオニンより生合成される）、尿中への過剰排泄（腎

尿細管の遊離カルニチンの再吸収能の低下による）や安息香酸ナトリウムの投与（Benzoyl CoAの蓄積による）およびカルニチンの含まれていない治療用特殊ミルクの使用などが考えられている。また、高アノニア血症性昏睡時に腹膜透析を行う場合は、透析液中の喪失も考えられる。著者のCPS部分欠損症の症例では腹膜透析液中にカルニチンが排泄されており、カルニチンの低下に腹膜透析が影響している可能性が考えられた。また、カルニチン合成を司る臓器のうち肝のみにカルニチンが低下しており、肝におけるカルニチン合成能の低下もカルニチン欠損症の成因として考えられた。

OTC欠損症やCPS欠損症ではカルニチンの低下が高アノニア血症の憎悪因子になる可能性があり、今回の結果でもCPS欠損症ではL-カルニチン投与により血中アノニア値の低下と、蛋白摂取量も増加が可能になったことより、今後は、低蛋白食および安息香酸ナトリウムなどの薬物療法とともにL-カルニチンの併用が必要であると考えられた。また、L-カルニチンの投与量に関しては、全身型カルニチン欠損症では100～150 mg/kg/dayが勧められているが、今回の結果より10～20 mg/kg/dayの比較的少量投与でも十分に血清カルニチン値を正常にすることが可能であることがわかった。

VPAは8個の炭素鎖よりなる分岐鎖脂肪酸で、1963年にMeunierらによって抗痙攣作用が発見されて以来、抗てんかん剤として広く使用されている薬剤であるが、その副作用として、Reye様症候群や致死的肝障害があることは従来より知られていた。VPAは構造上1分子の酢酸に2個のプロピオニール基を有する有機酸であり、プロピオニ酸血症やメチルマロン酸血症と同じようにミトコンドリア障害を起こすことが考えられ、実際、高アノニア血症⁷や低カルニチン血症⁸の報告がある。

今回の臨床例の結果でも、VPA投与群ではコントロールに比べ、血中アノニア値の増加と血清遊離カルニチン値の低下およびA/F比の増加が見られた。また、血中アノニア値は血清遊離カルニチン値およびA/F比と相関しており、カルニチンレベルの低下が血中アノニア値の上昇と密接な関係を持っていることが示唆された。そこで、以上の臨床例より明らかになつた現象を細胞レベルで解析するために、尿素サイクルとカルニチン代謝を同時に検討することができる最も適切なin vitroの系として成熟ラット初代培養肝細胞を用いた。

培地中にVPAを添加すると肝細胞による尿素合成は抑制され、培地中のアンモニアは上昇した。この時の肝細胞の遊離カルニチン含量は低下していたが、ミトコンドリアの酵素であるOTCやCPS-Iの活性は変化なく、VPAによる細胞障害による尿素合成の抑制は否定された。そこで、肝細胞によるシトルリン合成能を測定したところ尿素合成と同様に低下が見られた。また、VPAとともにL-カルニチンを添加すると、尿素合成は回復され、培地中のアンモニアも低下した。したがって、VPAによる高アンモニア血症の機序としては、肝細胞でのカルニチンの低下によりシトルリン合成にいたる経路のどこかが障害されるためと考えられた。すなわち、カルニチンの低下によりミトコンドリアでの脂肪酸の β 酸化の低下がおこると、acetyl CoAやATPレベルの低下がおこり、特に、N-acetyl glutamateが低下すると、細胞内でのCPS-Iの活性が障害され尿素合成が低下するものと推測される。このように肝細胞での遊離カルニチンレベルの低下が高アンモニア血症の発症に重要な役割を持っていることが明らかになったが、生体内では肝でのカルニチンの利用が亢進すると、血清より肝へのカルニチンの輸送の促進や、肝での内因性カルニチンの合成の促進がおこり、肝においてはかならずしも血清レベルと同等にカルニチンが低下しているとはかぎらないと予想される。実際、今回の臨床例での検討でも、血中アンモニア値が異常高値を示したのは一部のみで、重篤な症状を呈した症例はいなかった。しかし、肝疾患などで肝におけるカルニチンの合成能が低下している症例や、OTC欠損症、有機酸血症および低栄養などのVPA以外に二次性カルニチン欠損症を引き起こす要因のある場合は、肝におけるカルニチンも低下し重篤な症状を呈する可能性がある。

5 結 論

高アンモニア血症を呈する疾患における血清および組織のカルニチンを測定し、また高アンモニア血症とカルニチンとの関連を明らかにする目的で、初代培養肝細胞を用いて種々の検討を行い以下のような結果を得た。

- 先天性高アンモニア血症例では、OTC欠損症のほかにCPS欠損症でも二次性カルニチン欠損症が見られることが明らかとなった。しかし、OTC欠損症やCPS欠損症以外の尿素サイクル異常症では血清および肝でのカルニチンの低下は見られなかった。また、OTC欠損症の一部では年齢とともに血清および肝カルニチン

の低下がみられた。CPS部分欠損症例ではL-カルニチソ(10 mg/kg/day)投与後、血清および尿カルニチンの増加とともに血中アンモニア値が有意に低下した。

- VPA投与例では、血中アンモニア値の上昇と、血清遊離カルニチン値の低下およびA/F比の上昇がみられた。また、血中アンモニア値と血清遊離カルニチン値の間には有意な負の相関が見られた。

- 初代培養肝細胞を用いた検討より、VPAによる高アンモニア血症は肝細胞でのカルニチンの低下を介するシトルリン合成抑制による尿素合成の低下によることが示唆され、L-カルニチン投与が高アンモニア血症の予防に有効であると考えられた。

謝 辞

稿を終えるにあたり、本研究の御指導をいただいた札幌医科大学小児科学講座、大柳和彦助教授、土山晃博士並びに長尾雅悦博士に感謝の意を表します。また、御校閲いただいた札幌医科大学小児科学講座、千葉峻三教授に深謝いたします。

文 献

- Roe, C. R. and Bohan, T. P.: L-carnitine therapy in propionic aciduria (letter to editor). *Lancet* **1**, 1411-1412 (1982).
- Roe, C. R.: Relative carnitine insufficiency in Reye's syndrome and other metabolic disorders. In: Pollack, J. D.: Reye's syndrome IV, The National Reye's Syndrome Foundation, Ohio, 201-215 (1985).
- Mastuda, I. and Ohtani, Y.: Carnitine status in Reye and Reye-like syndromes. *Pediatr. Neurol.* **2**, 90-94 (1986).
- Ohtani, Y., Ohyanagi, K., Yamamoto, S. and Mastuda, I.: Secondary carnitine deficiency in hyperammonemic attacks of ornithine transcarbamylase deficiency. *J. Pediatr.* **112**, 409-414 (1988).
- Engel, A. G. and Rebouche, C. J.: Carnitine metabolism and inborn errors. *J. Inher. Metab. Dis.* **7** (Suppl.), 38-43 (1984).
- Stumpf, D. A., Parker, W. D. and Angelini, C.: Carnitine deficiency, organic acidemias and Reye's syndrome. *Neurology* **35**, 1041-1045 (1985).
- Coulter, D. L. and Allen, R. J.: Hyperammonemia with valproic acid therapy. *J. Pediatr.* **99**, 317-319 (1981).
- Ohtani, Y., Endo, F. and Mastuda, I.: Carnitine

- deficiency and hyperammonemia associated with valproic acid therapy. *J. Pediatr.* **101**, 782-785 (1982).
9. McGarry, J. D. and Foster, D. W.: A improved and simplified radioisotopic assay for the determination of free and esterified carnitine. *J. Lipid Res.* **17**, 277-281 (1976).
 10. Mastuda, I., Ohtani, Y. and Ninomiya, N.: Renal handling of carnitine in children with carnitine deficiency and hyperammonemia associated with valproate therapy. *J. Pediatr.* **135**, 131-134 (1986).
 11. Tanaka, K., Sato, M., Tomita, Y. and Ichihara, A.: Biochemical studies on liver functions in primary cultured hepatocytes of adult rats. *J. Biochem.* **84**, 937-946 (1978).
 12. 奥田拓道, 藤井節郎: 血中アンモニア直接比色定量法. *最新医学* **21**, 622-627 (1966).
 13. Ceriotti, G. and Spandrio, L.: A spectrophotometric method for determination of urea. *Clin. Chim. Acta* **8**, 295-299 (1963).
 14. Nuzum, C. T. and Snodgrass, P. T.: Multiple assays of five urea-cycle enzymes in human liver homogenates. In: Grisolia, A.: The urea cycle. 325-355, Wiley-Interscience Publication, New York (1976).
 15. Schmike, R. T.: Adaptive characteristics of urea cycle enzymes in rat liver. *J. Biol. Chem.* **237**, 459-470 (1962).
 16. Yamazaki, R. K. and Graetz, G. S.: Glucagon stimulation of citrulline formation in isolated hepatic mitochondria. *Arch. Biochem. Biophys.* **178**, 19-25 (1977).
 17. 土山 晃, 板倉慶弘, 田村弥生子, 大柳和彦, 中尾亨: 先天性尿素サイクル酵素異常症における尿中オロット酸の意義について—特に保因者診断—. *日児誌* **87**, 1614-1618 (1983).
 18. Engel, A. G. and Angelini, C.: Carnitine deficiency of human skeletal muscle with associated lipid storage myopathy: A new syndrome. *Science* **179**, 899-902 (1973).
 19. Angelini, C., Trevisan, C., Isaya, G., Pegolo, G. and Uergani, L.: Clinical varieties of carnitine and carnitine palmitoyltransferase deficiency. *Clin. Biochem.* **20**, 1-7 (1987).
 20. Hinshaw, W. B., Glenn, J. L. and Hatch, K. M.: Serum carnitine in Reye's syndrome. *N. Engl. J. Med.* **302**, 1423 (1980).
 21. Bohner, T., Bergrem, H. and Eiklid, K.: Carnitine deficiency induced during intermittent haemodialysis for renal failure. *Lancet* **1**, 126-128 (1978).
 22. Penn, D., Schmidt-Sommerfeld, E. and Pascu, F.: Decreased tissue carnitine concentrations in newborn infants receiving total parenteral nutrition. *J. Pediatr.* **98**, 976-978 (1981).
 23. O'Connor, J. E., Costell, M. and Grisolia, S.: Protective effect of L-carnitine on hyperammonemia. *FEBS. Lett.* **166**, 331-334 (1984).

別刷請求先:

(〒060) 札幌市中央区南1条西16丁目

札幌医科大学小児科学講座 森 俊彦